

## ◦ 化学成分。

## 女贞小蜡树的木脂素及黄酮类配糖体成分研究

欧阳明安\*

(华侨大学 生物工程与技术系,福建 泉州 362011)

**摘要:** 目的 研究女贞小蜡树 *Ligustrum sinense* 的化学成分。方法 采用液相色谱、光谱和化学方法分离和鉴定植物中化学成分。结果 从小蜡树茎叶甲醇提取物的水溶性部分得到 5 个酚性成分。两个木脂素类化合物:  $8'\alpha$ -羟基-落叶松脂素- $4'-O\beta-L$ -吡喃葡萄糖基苷(I) 和 liriodendrin(II), 化合物 I 为新的化合物, 命名为小蜡苷 I (sinenoside I); 另外三个黄酮类化合物为: 山奈酚- $3-O\beta-D$ -吡喃葡萄糖苷(III),  $7-O\alpha-L$ -吡喃鼠李糖基-山奈酚- $3-O\beta-D$ -吡喃葡萄糖苷(IV) 和山奈苷(V)。结论 均为首次从该植物中分得。

**关键词:** 木犀科;女贞小蜡树;酚性配糖体;小蜡苷 I

中图分类号: R283.3 文献标识码: A 文章编号: 0253-2670(2003)03-0196-03

Studies on lignans and flavonoid glycosides of *Ligustrum sinense*

OU YUAN G Ming-An

(Department of Bio-engineering &amp; Technology, Huaciao University, Quanzhou 362011, China)

**Abstract Object** To study the chemical constituents in *Ligustrum sinense* Lour. **Methods** One new and four known phenolic glycosides were isolated and identified by column chromatography, MS, IR and NMR data. **Results** Five phenolic and two lignan components were isolated from water soluble part in methanol extract of the stem and leaves of *L. sinense*. The obtained compounds were identified as sinenosides I,  $8'\beta$ -hydroxyl-lariciresinol- $4'-O\beta-L$ -glucopyranoside (I), a new compound liriodendrin (II); kaempferol- $3-O\beta-D$ -glucopyranoside (III);  $7-O\alpha-L$ -rhamnopyransyl-kaempferol- $3-O\beta-D$ -glucopyranoside (IV),  $7-O\beta-D$ -rhamnopyransyl-kaempferol- $3-O\beta-D$ -rhamnopyranoside (V). **Conclusion** All the compounds were isolated from this plant for the first time.

**Key words** Oleaceae; *Ligustrum sinense* Lour.; phenolic glycosides; sinenoside I

女贞小蜡树 *Ligustrum sinense* Lour. 系木犀科女贞属植物, 广泛分布于我国长江以南各省, 又名冬青、山指甲、蚊子花<sup>[1,2]</sup>。是一种传统中药, 用于治疗急性黄疸型传染性肝炎, 有清热解毒、消肿止痛之功效, 但其化学成分未见报道。我们从小蜡女贞茎、叶的甲醇提取物的水溶性部分分离得到两类酚性配糖体: 木脂素类和黄酮类化合物的配糖体成分。

化合物 I: 白色晶体,  $[\alpha]^{D}_{29} = -46.67^\circ$  (c, 0.015, C<sub>6</sub>H<sub>5</sub>N); IR<sub>max</sub><sup>KBr</sup> cm<sup>-1</sup>: 3 600~3 000, 1 710, 1 600, 1 520; FAB-MS m/z: 537 [M-H]<sup>-</sup>, 375 [M-H-162]<sup>-</sup>。通过其<sup>13</sup>C NMR 谱的 DEPT 谱图及 FAB-MS 可以推断出其分子式为 C<sub>26</sub>H<sub>44</sub>O<sub>12</sub>。<sup>13</sup>C NMR 谱显示 26 个碳信号峰(表 1), 其中包括两个甲氧基信号峰( $\delta$  56.4 和 56.7), 12 个苯环碳信号峰和一分子

六碳糖的信号, 从这两个苯环和另外 6 个碳的化学位移可以推断出化合物 I 是一个木脂素类化合物, 酸水解后产生一分子葡萄糖

<sup>1</sup> HNMR 谱显示有两个甲氧基信号  $\delta$  3.76 [重叠(s)], 3 个亚甲基信号 [ $\delta$  3.00(d,  $J = 13.9$  Hz), 3.09(d,  $J = 13.9$  Hz),  $\delta$  3.70(交迭), 3.87(交迭) 和  $\delta$  3.80(交迭), 3.90(交迭)], 两组 ABX 自旋体系的质子信号 [ $\delta$  7.01(d,  $J = 1.8$  Hz), 7.15(d,  $J = 8.2$  Hz) 和 7.86(dd,  $J = 1.8, 8.2$  Hz);  $\delta$  7.21(d,  $J = 1.9$  Hz), 6.80(d,  $J = 8.0$  Hz) 和 9.63(dd,  $J = 1.9, 8.0$  Hz)], 还有一个糖端基质子  $\delta$  4.99(d,  $J = 7.2$  Hz)。从这些质子信号, 可以推出化合物 I 中含有两组 3, 4-二取代苯环和一分子  $\beta$  构型的葡萄糖。在二维核磁共振 HMBC 中, 主要的 C-H 相关有 H-7 和 C-1, C-

\* 收稿日期: 2002-06-10

基金项目: 华侨大学自然科学基金资助

作者简介: 欧阳明安(1963-), 博士, 教授。从事天然产物化学研究 Tel (0595) 2693976 E-mail maouyang@hqu.edu.cn

2, C-6相关; H-8, H-9, H-7', H-9'和C-8'相关; H-2', H-6', H-7'和C-1'相关; 一甲氧基质子 $\delta$ 3.76(3H, s, OCH<sub>3</sub>)和C-3( $\delta$ 56.4)相关; 另一个甲氧基质子 $\delta$ 3.76(3H, s, OCH<sub>3</sub>)和C-3'( $\delta$ 56.7)葡萄糖端基质子( $\delta$ 4.99)和C-4'相关。在化合物I的NOESY谱中, 波谱信号显示出H-7'和两个亚甲基质子H-9'和H-7'有很强的相关点, 表明在这个环氧结构中H-7, H-9'和H-7'为 $\beta$ 构型。另一个重要的相关是H-

2',与H-7'、甲氧基C-3'上的质子相关; H-5'与葡萄糖的端基质子H-6'相关; H-2与H-7, C-3上的甲氧基质子相关, 这些关键的相关关系表明了化合物I的相对立体化学结构(图1)。根据上面的波谱数据分析, 化合物I的结构定为 $\alpha$ -羟基落叶松脂素-4'-O $\beta$ -L-吡喃葡萄糖基苷(I), 命名为小蜡苷I(sinenoside I)。

## 1 仪器与试剂

表1 化合物I的<sup>1</sup>H NMR and <sup>13</sup>C NMR数据(C<sub>6</sub>D<sub>5</sub>N)

Table 1 <sup>1</sup>H NMR and <sup>13</sup>C NMR data of compound I in C<sub>6</sub>D<sub>5</sub>N

碳位	$\delta$ C	$\delta$ H (m, J Hz)	碳位	$\delta$ C	$\delta$ H (m, J Hz)	碳位	$\delta$ C	$\delta$ H (m, J Hz)
1	135.5		3-OCH <sub>3</sub>	56.4	3.76	9'	78.0	3.70, 3.87
2	111.8	7.21 (d, 1.9)	1'	134.1		56.7		3.76 (s)
3	149.0		2'	116.4	7.01 (d, 1.8)	1''	103.1	4.99 (d, 7.2)
4	147.3		3'	146.8		2''	75.0	
5	115.9	6.80 (d, 8.0)	4	150.4		3''	78.0	
6	120.8	6.93 (dd, 1.9, 8.0)	5'	117.7	7.15 (d, 8.2)	4''	71.5	
7	85.5	4.80 (d, 7.3)	6'	124.0	7.86 (dd, 1.8, 8.2)	5''	78.3	
8	62.1	2.40 (br, s)	7'	40.7	3.00, 3.09 (d, 13.9)	8'	82.4	
9	60.7	3.80, 3.90	8''	82.4				

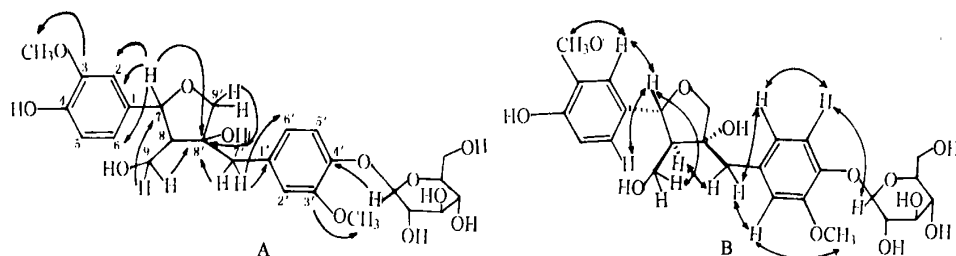


图1 碳-氢、氢-氢远程相关

Fig. 1 Remote correlations of HMBC (A) and NOESY (B) spectra

<sup>1</sup>H NMR和<sup>13</sup>C NMR用Bruker AM-400型和DRX-500型核磁共振仪测定, TMS为内标。FAB-MS用VG Autospec 3000型质谱仪测定; 旋光用JASCO-20C数字旋光仪测定; IR用Perkin-Elmer 1750红外光谱仪测定, KBr压片。层析材料为: RP-8(40~60 $\mu$ m, Merck), 硅胶(160~200 mesh and 10~40 $\mu$ m), Sephadex LH-20(25~100 $\mu$ m, Pharmacia Fine Chemical Co., Ltd.)和MCI-gel CHP20P(75~150 $\mu$ m, Mitsubishi Chemical Industries, Ltd.); 薄层色谱显色用5% H<sub>2</sub>SO<sub>4</sub>加热显色。

## 2 提取和分离

采集小蜡女贞鲜叶2kg用甲醇浸提3次, 合并甲醇提取液减压蒸馏得浸膏, 用水溶解, 过滤, 水溶解部分通过D<sub>10</sub>柱, 先用水洗, 再用甲醇洗脱, 蒸干甲醇洗脱物得到10g棕色浸膏(A), 通过Sephadex LH-20(5%~40% EtOH梯度洗脱)得到两个部分: B(1g), C(3g)。这两个部分分别通过MCI-gel

(10%~50% MeOH梯度洗脱)得到4个组分(I~IV), 几个组份分别用硅胶柱层析, 洗脱体系用CHCl<sub>3</sub>-MeOH-H<sub>2</sub>O(100: 10: 1~80: 20: 1), 最后用RP-8硅胶柱纯化(洗脱体系: MeOH-H<sub>2</sub>O, 10%~70%)得到化合物I(147mg), II(73mg), III(32mg), IV(110mg), V(42mg)。

酸水解: 将得到的每个化合物(10mg)溶解在含有5% H<sub>2</sub>SO<sub>4</sub>的溶液中(溶剂为H<sub>2</sub>O-EtOH=1: 1), 加热回流10h, 反应混合物用水稀释, 然后用2% NaOH中和, 真空干燥, 残渣用吡啶提取后, 通过HPTLC分析确定糖的种类。

## 3 鉴定

Liriodendrin(II): <sup>1</sup>H NMR  $\delta$ 3.74(3H, s, OCH<sub>3</sub>), 4.65(2H, d,  $J$ =3.8Hz, H-2, H-6), 4.94(1H, d,  $J$ =5.2Hz, H-1 of Glc), 6.64(2H, s, H-2', H-6'); <sup>13</sup>C NMR  $\delta$ 53.6(C-1, C-5), 85.0(C-2, C-6), 71.3(C-4, C-8), 133.9(C-1'), 104.3(C-2', C-6'),

152.6(C-3'), C-5'), 137.2(C-4'), 102.8(C-1X 2), 77.2(C-5X 2), 76.5(C-3X 2), 74.2(C-2X 2), 70.0(C-4X 2), 61.0(C-6X 2), 56.4(4X OCH<sub>3</sub>), 数据与文献报道一致<sup>[3]</sup>。

**山奈酚-3-O-β-D-吡喃葡萄糖苷(III):** <sup>1</sup>H NMR δ8.03 [H-2', H-6'(2H, d, J= 8.8 Hz)], 6.87 [H-3', H-5'(2H, d, J= 8.8 Hz)], 6.42 (H-8), 6.19 (H-6), 5.44 (1H, d, J= 7.6 Hz); <sup>13</sup>C NMR δ177.4(C-4), 164.3(C-7), 161.2(C-5), 159.9(C-4'), 156.4(C-2), 156.3(C-9), 133.3(C-3), 130.8(C-2', C-6'), 120.9(C-1'), 115.1(C-3', C-5'), 104.0(C-10), 98.7(C-6), 93.7(C-8), 101.1(C-1, 3-O-Glc), 77.4(C-5), 76.5(C-3), 74.2(C-2), 70.0(C-4), 60.9(C-6), 数据与文献报道一致<sup>[4]</sup>。

**7-O-α-L-吡喃鼠李糖基山奈酚-3-O-β-D-吡喃葡萄糖苷(IV):** <sup>1</sup>H NMR δ8.08 [H-2', H-6'(2H, d, J= 8.8 Hz)], 6.90 [H-3', H-5'(2H, d, J= 8.7 Hz)], 6.81 (H-8), 6.44 (H-6), 5.54 (1H, br. s, Rha), 5.47 (1H, d, J= 7.2 Hz), 1.10 (3H, d, J= 6.4 Hz); <sup>13</sup>C NMR δ177.6(C-4), 161.6(C-7), 160.8(C-5), 160.0(C-4'), 156.7(C-2), 156.0(C-9), 133.5(C-3), 130.9(C-2', C-6'), 120.7(C-1'), 115.1(C-3', C-5'), 105.6(C-10), 98.4(C-6), 94.2(C-8), 100.8(C-1, 3-O-Glc), 77.4(C-5), 76.4(C-3), 74.2(C-2), 70.2(C-4), 60.8(C-6), 99.3(C-1, 7-O-Rha), 71.6(C-4), 70.1(C-3), 70.0(C-2), 69.7(C-5), 17.8(C-6), 数据与文献报道一致<sup>[5]</sup>。

**山奈昔(V):** <sup>1</sup>H NMR δ7.78 [H-2', H-6'(2H, d, J= 8.4 Hz)], 6.90 [H-3', H-5'(2H, d, J= 8.5 Hz)], 6.78 (H-8), 6.45 (H-6), 5.54 (1H, br. s, Rha'), 5.29 (1H, br. s, Rha), 1.01 (3H, d, J= 6.4 Hz), 0.79 (3H, d, J= 6.0 Hz); <sup>13</sup>C NMR δ177.8(C-4), 161.6(C-7), 160.9(C-5), 160.0(C-4'), 157.6(C-2), 156.0(C-9), 134.5(C-3), 130.5(C-2', C-6'), 120.3(C-1'), 115.3(C-3', C-5'), 105.7(C-10), 98.4(C-6), 94.5(C-8), 101.8(C-1, 3-O-Rha), 71.5(C-4), 70.5(C-3), 70.2(C-2), 69.9(C-5), 17.8(C-6), 99.3(C-1, 7-O-Rha), 71.1(C-4), 70.3(C-3), 70.2(C-2), 69.7(C-5), 17.3(C-6), 数据与文献报道一致<sup>[5]</sup>。

致谢: 中国科学院昆明植物研究所植化室仪器组测试各项波谱。

## References

- [1] Editorial Office of National Chinese Herbal Medicine Collection. *Collection of National Chinese Herbal Medicine* (全国中草药汇编) [M]. Beijing: People's Medical Publishing House, 1992.
- [2] Jiangsu New Medical College. *Dictionary of Chinese Materia Medica* (中药大辞典) [M]. Shanghai: Shanghai Science and Technology Publisher, 1977.
- [3] Macrae W D and Towers G H N. Biological activities of lignans [J]. *Phytochemistry*, 1984, 23(6): 1207-1211.
- [4] Markham K R, Ternal B, Stanley R, et al. <sup>13</sup>C NMR studies of flavonoids-III [J]. *Tetrahedron*, 1978, 34(3): 1389-1398.
- [5] Pauli G F. Higher order and substituent chemical shift effects in the proton NMR of glycosides [J]. *J Nat Prod*, 2000, 63(6): 834-839.

## Chemical constituents from root of *Glycyrrhiza uralensis*

ZHU Xu-min, DI Ying-tong, PENG Shu-lin, WANG Ming-kui, DIN G Li-sheng<sup>\*</sup>  
(Chengdu Institute of Biology, CAS, Chengdu 610041, China)

**Abstract Object** To investigate the chemical constituents from the roots of *Glycyrrhiza uralensis* Fisch. **Methods** The constituents were isolated on normal and reversed silica gel column chromatography and their structures were identified by spectral evidence. **Results** A new oleanane-type triterpenoid saponin and twelve known compounds, including two triterpenoid saponins, two cumarins and eight flavonoids, were isolated. **Conclusion** The new compound was elucidated as 3-O-β-D-(6-methyl) glucuronopyranosyl (1→2)-D-glucuronopyranosyl]-24-hydroxy-glabrolide on the basis of ESI-MS, <sup>1</sup>H NMR, <sup>13</sup>C NMR, HMQC and HMBC spectral evidence.

\* 收稿日期: 2002-08-12

基金项目: 中国科学院生物技术特别支持项目(STZ-97-3-08)

作者简介: 丁立生(1958-),男,博士,研究员(博士生导师),主要从事天然有机化学研究  
Tel (028) 85223843 E-mail lsding@ cib.ac.cn